

# ミューオン線形加速器における スピンドイナミクスシミュレーション

第17回日本加速器学会年会  
2020/09/04 ビームダイナミクス/電子加速器 FROT02  
@ オンライン

安田浩昌<sup>A)</sup>、飯沼裕美<sup>B)</sup>、大谷将士<sup>C)</sup>、河村成肇<sup>C)</sup>、北村遼<sup>D)</sup>、近藤恭弘<sup>D)</sup>、  
齊藤直人<sup>E)</sup>、佐藤優太郎<sup>B)</sup>、須江祐貴<sup>F)</sup>、竹内佑甫<sup>G)</sup>、中沢雄河<sup>B)</sup>、  
三部勉<sup>C)</sup>、山崎高幸<sup>C)</sup>、森下卓俊<sup>D)</sup>、四塚麻衣<sup>F)</sup>

東大理<sup>A</sup>、茨大理工<sup>B</sup>、高工研<sup>C</sup>、原研<sup>D</sup>、J-PARCセンター<sup>E</sup>、名大理<sup>F</sup>、九大理<sup>G</sup>

## 1. 導入

- ミューオンの異常磁気能率( $g-2$ )と電気双極子能率(EDM)
- ミューオン線形加速器概要
- スピンダイナミクスによるミューオン $g-2$ 測定への影響

## 2. 手法

- スピンダイナミクスシミュレーション手法

## 3. 結果

- 各加速空洞の減偏極率
- 各加速空洞のスピン方向-運動量相関とスピン方向広がり

## 4. まとめと今後の展望

# ミューオン g-2/EDM

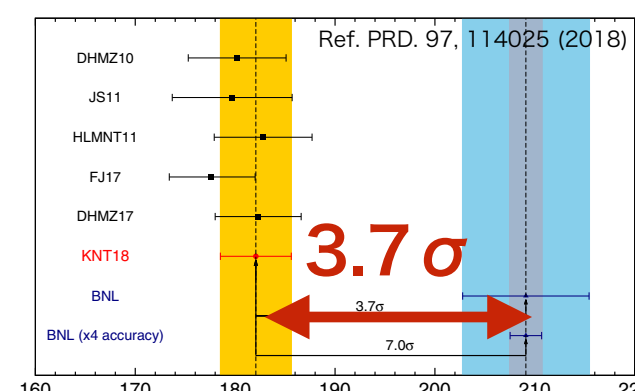
3

- 素粒子ミューオン
- 第二世代の荷電レプトン粒子
- 電子の200倍の質量を持つ
- 中間子( $\pi$ , Kなど) の崩壊によって得られる
- 異常磁気能率(g-2)と電気双極子能率(EDM)

電子	ミューオン	タウォン
荷電レプトン 電荷 e, スピン 1/2	e	$\mu$
質量[MeV]	0.511	105.6
		約200倍

## 異常磁気能率 g-2

### Theory(SM) Experiment



異常磁気能率  $\Delta\mu = (g-2)/2$  の大きさ

### ミューオン g-2 測定精度

540 ppb 460 ppb -> 100 ppb  
先行実験(BNL) 本実験(J-PARC)

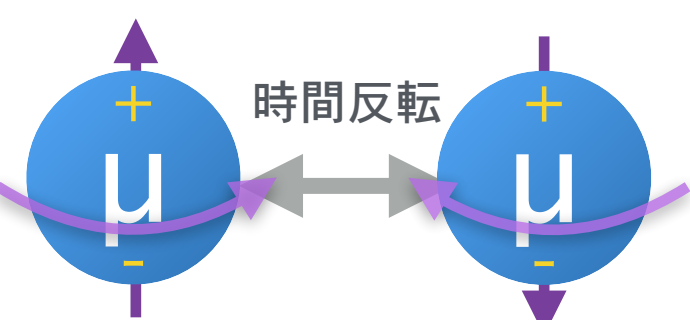
20年に渡る未解決問題に終止符

2000年頃にBNLで測定  
標準模型では説明できない  
3 $\sigma$ を超える乖離が存在



新粒子の存在を示唆

## 電気双極子能率 EDM



時間反転対称性を破る物理量  
いまだに観測されていない



本測定感度での発見は  
新粒子の発見を意味

### ミューオン EDM 測定感度

$1.8 \times 10^{-19} \text{ e} \cdot \text{cm}$   $1.0 \times 10^{-21} \text{ e} \cdot \text{cm}$   
先行実験(BNL) 本実験(J-PARC)

時間反転対称性を破る事象の観測を目指す

# ミューオンg-2の測定方法

## ■ ミューオンg-2の測定手法

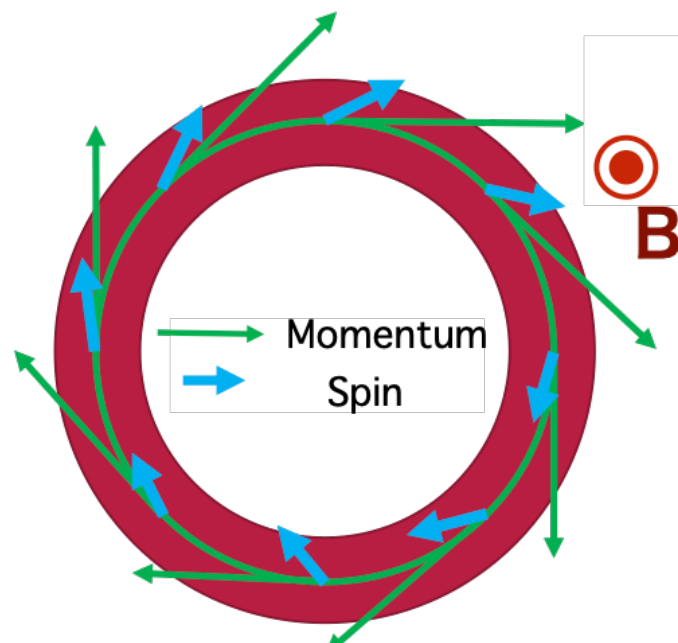
## ■ 蓄積ミューオンビームの崩壊によって放出される陽電子数を検出

### 1. ミューオンビームを均一磁場中に蓄積

磁場中における  
スピン方向の振動

$$\omega_a = -\frac{eB}{2m_\mu} (g_\mu - 2)$$

スピン方向を測定することでg-2が測定可能



### 2. スpin方向に陽電子が放出

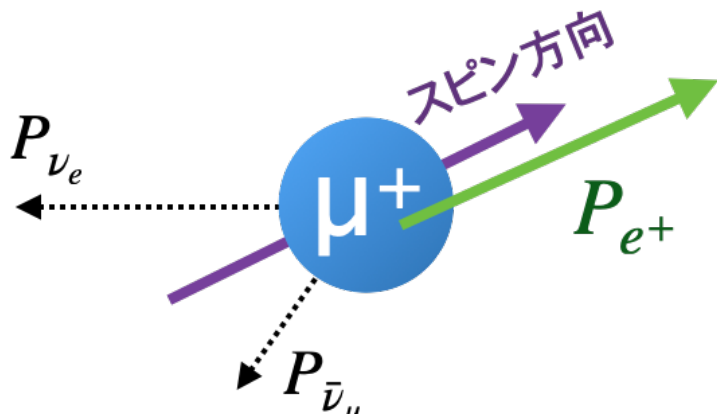
ミューオンは陽電子とニュートリノに崩壊



弱い相互作用の対称性から、  
スpin方向に陽電子が放出しやすい



陽電子の放出方向を測定することで  
スpin方向が測定可能



### 3. 陽電子の検出数の時間変化

検出陽電子数時間依存性  $N(t)$

$$N(t) = \frac{N_{e^+}}{\gamma\tau} e^{-t/\gamma\tau} [1 - PA \cos(\omega_a t + \phi)]$$

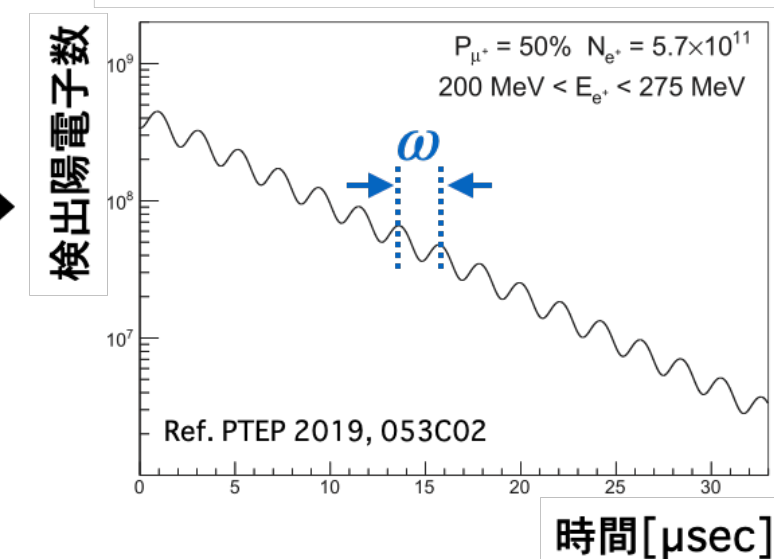
ミューオン崩壊

スpin回転の振動

検出陽電子数の時間変化

= ミューオン崩壊 + スpinの回転振動

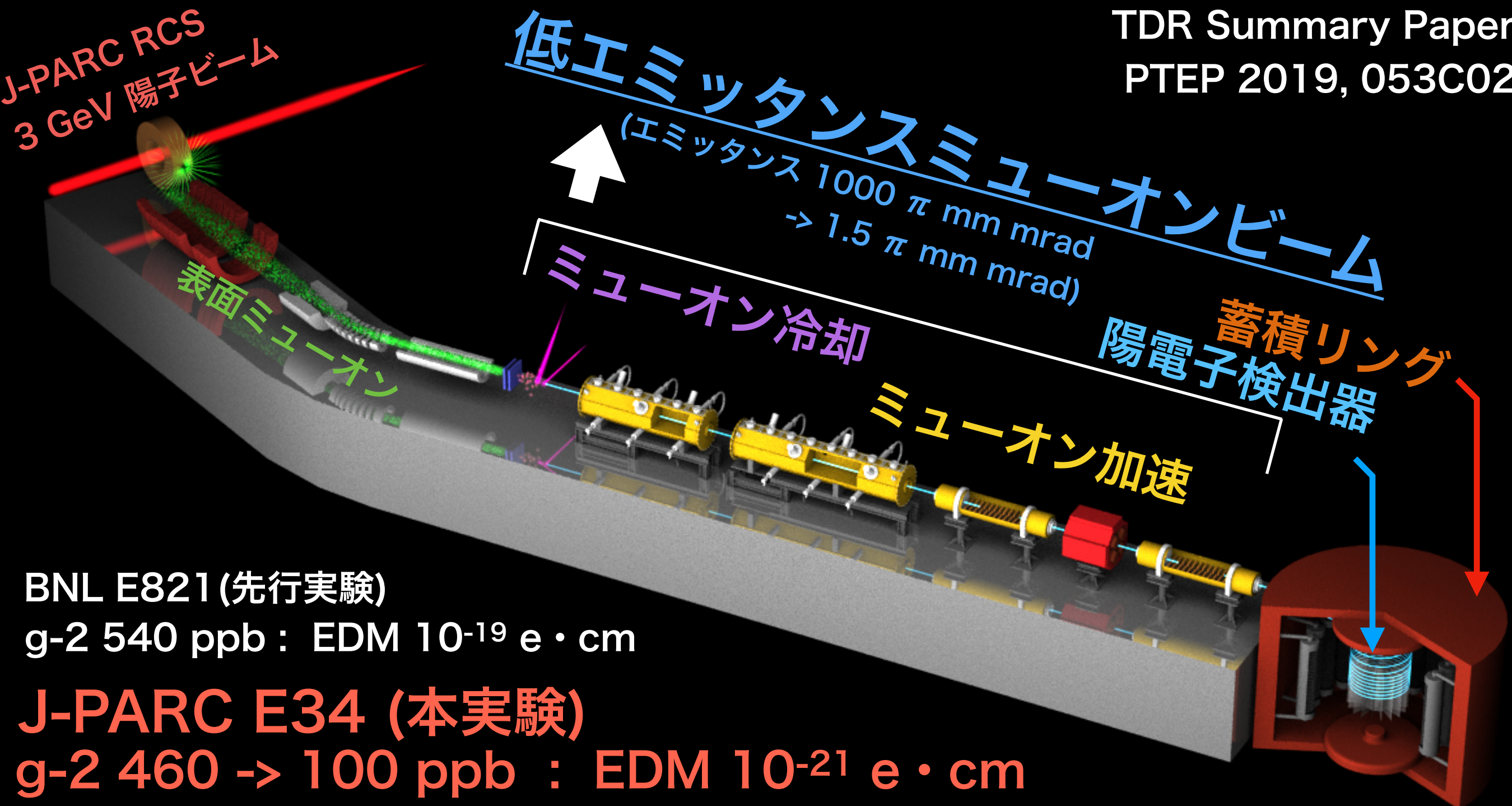
期待される検出陽電子数の時間変化



**ミューオン g-2 測定 = ミューオン崩壊による陽電子数の時間変化を測定**

# J-PARC muon g-2/EDM 実験 5

低エミッタントスミューオンビームにより先行実験の主要な系統誤差を排除  
従来とは異なる手法での標準模型の検証

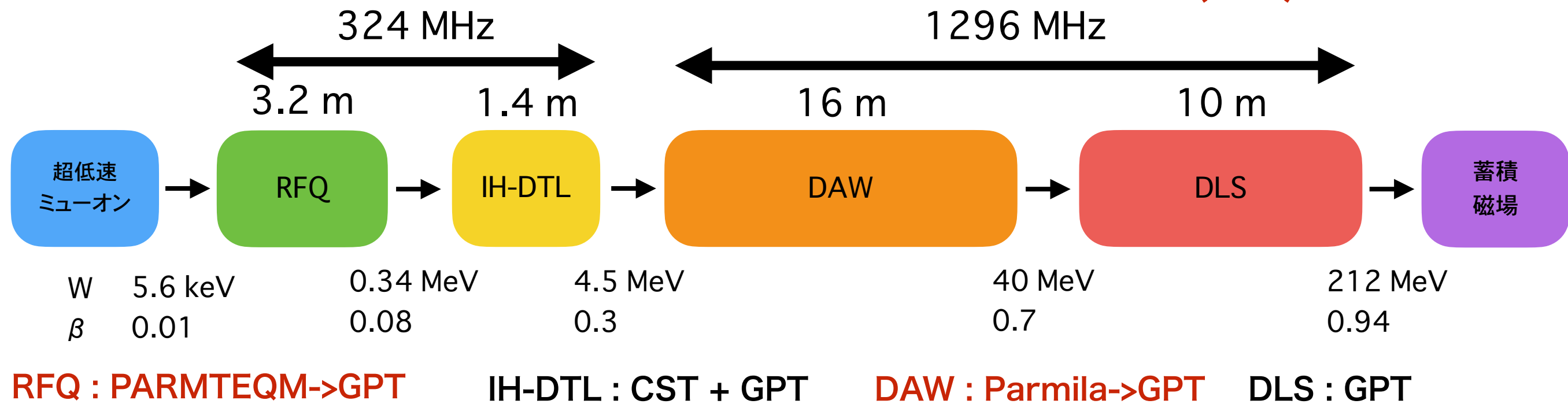


# ミューオン線形加速器

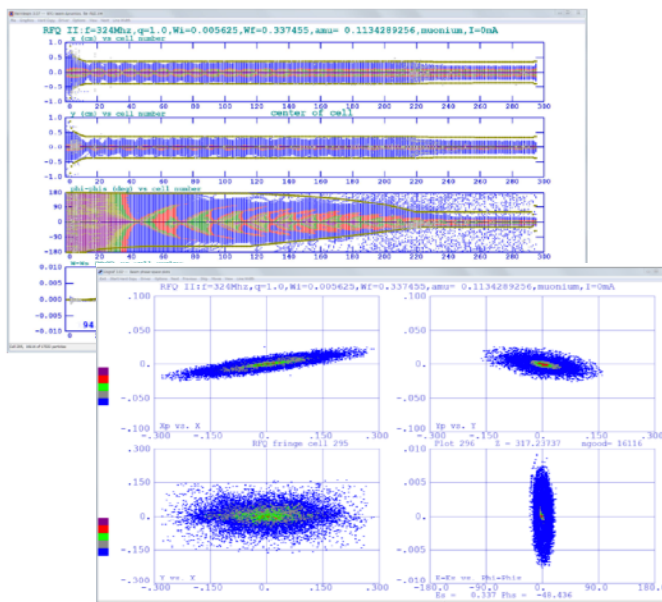
## ■ ミューオン線形加速器概要

- $\beta$ の変化に合わせるために、4つの加速空洞を利用
- 各空洞に合わせたシミュレーションツールを使用

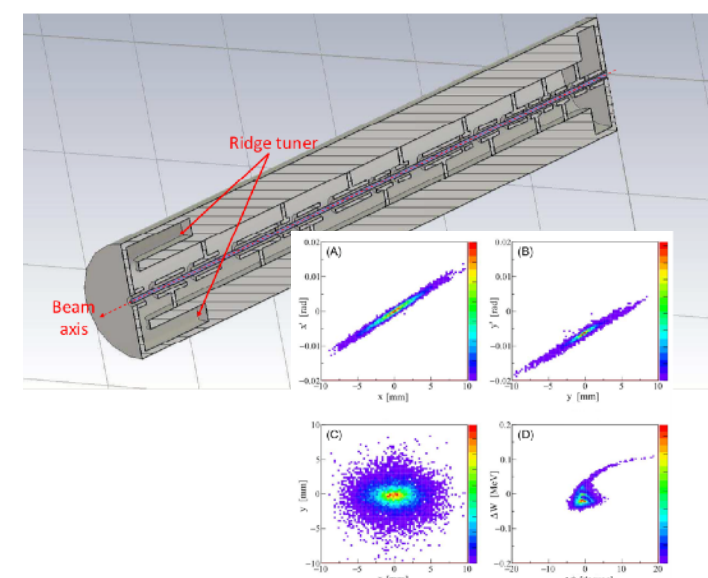
■ 本シミュレーションのために、全てをGeneral Particle Tracer(GPT)に移行



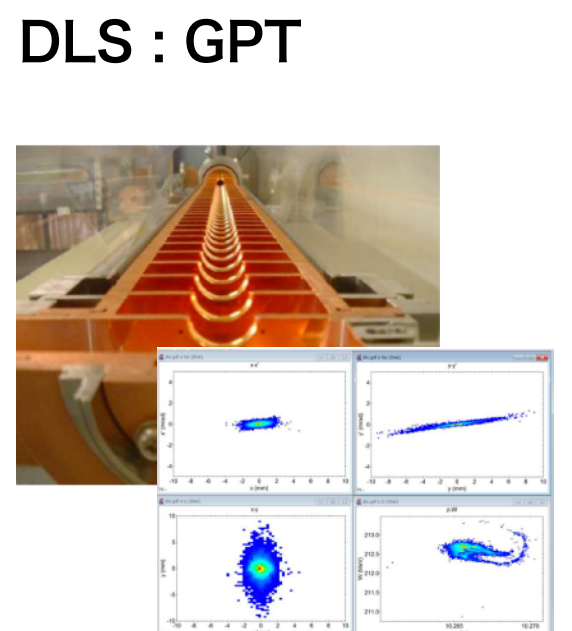
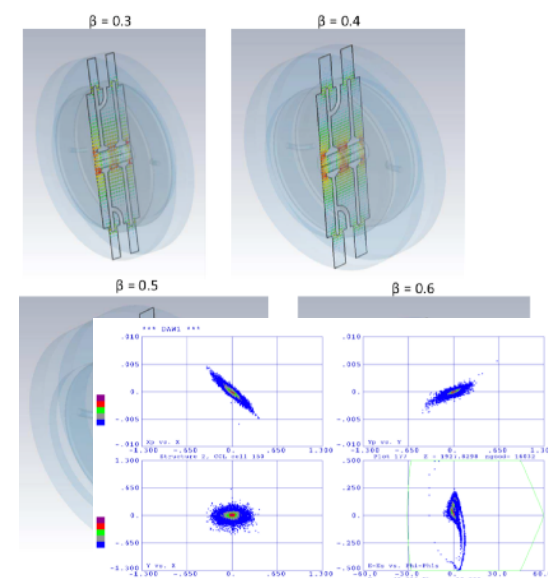
RFQ : PARMTEQM->GPT



IH-DTL : CST + GPT



DAW : Parmila->GPT



# 開発状況と本研究の目的

## これまでの開発状況

- 第12回年会(2015) ミューオン線形加速器の基本設計
- 第13回年会(2016) ビームダイナミクスの設計完了
- 第14回年会(2017) 加速試験用の 負Mu の観測
- 第15回年会(2018) プロトタイプRFQによる世界初のミューオンRF加速実証
- 第16回年会(2019) バンチ幅モニターの開発と実証試験
- 本年会関連講演      IH-DTL空洞の大電力試験に向けた準備状況 (中沢) FROO03  
DAWのcold model試験およびカプラー設計 (竹内) FROO04

ビームダイナミクスの測定準備、実機加速空洞に向けた開発が進行中

## 本研究の目的

ミューオンg-2測定では、ビームダイナミクスに加え  
スピンドイナミクスの理解も重要



現加速器設計において、スピンドイナミクスシミュレーションを行い、  
ミューオンg-2測定へ影響する項目について評価

# スピンドライナミクスの評価項目

8

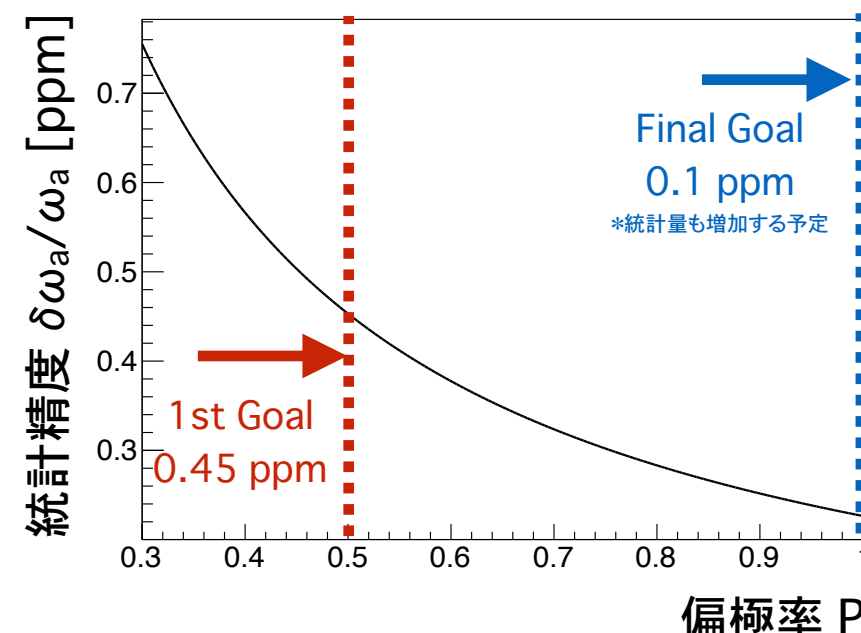
## ミューオンg-2測定に影響を与えるスピンドライナミクスの項目

### 1. 加速器による減偏極

ミューオンg-2の統計誤差

$$\frac{\delta\omega_a}{\omega_a} \sim \frac{\sqrt{2}}{\omega_a \gamma \tau A P \sqrt{N}}$$

$N$ : データサンプル数  
 $\gamma$ : ローレンツ因子  
 $\tau$ : ミューオン寿命  
 $A$ : Analyzing power  
 $P$ : 平均偏極率



偏極率の低下 → 統計誤差の悪化

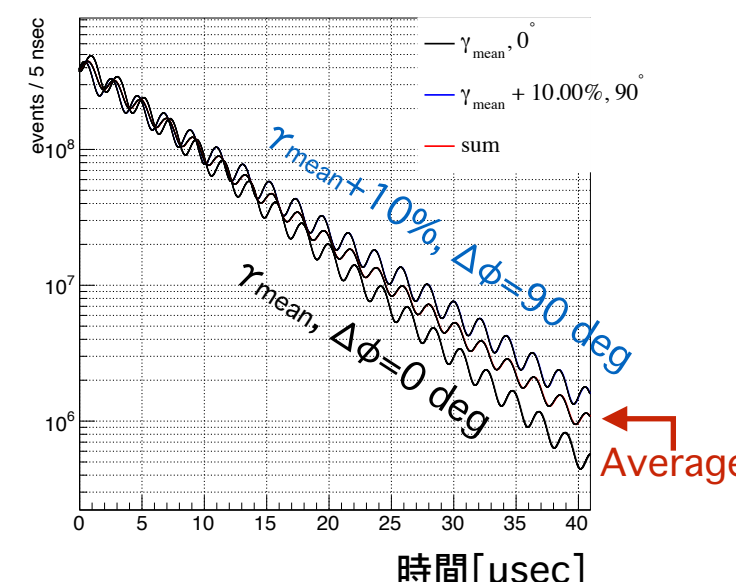
### 2. スピン方向と運動量の相関

検出陽電子数時間依存性  $N(t)$

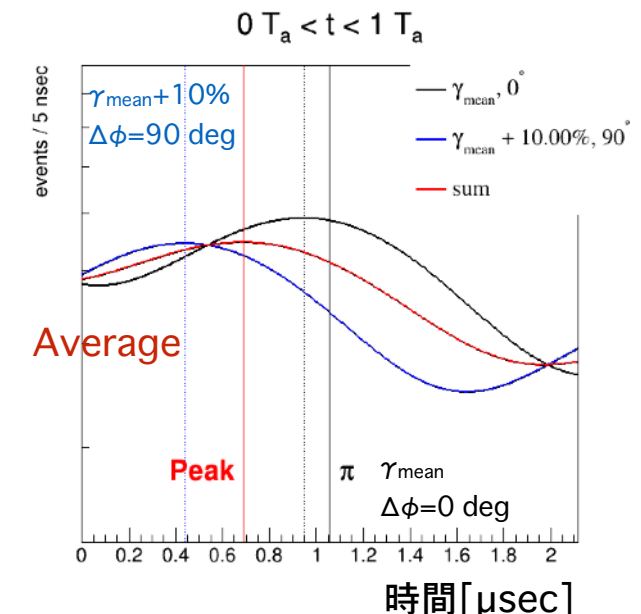
$$N(t) = \frac{N_{e^+}}{\gamma\tau} e^{-t/\gamma\tau} [1 - \frac{PA \cos(\omega_a t + \phi)}{\text{蓄積磁場中の回転}}]$$

蓄積磁場中のスピン回転  
運動量  
蓄積磁場中の回転 入射時のスピン方向

運動量と位相が異なる二つの信号と平均



各振動周期のピーク位置の変化



スピン方向と運動量の相関 → 系統誤差要因

本研究では「減偏極率」と「スピン方向と運動量の相関」を評価

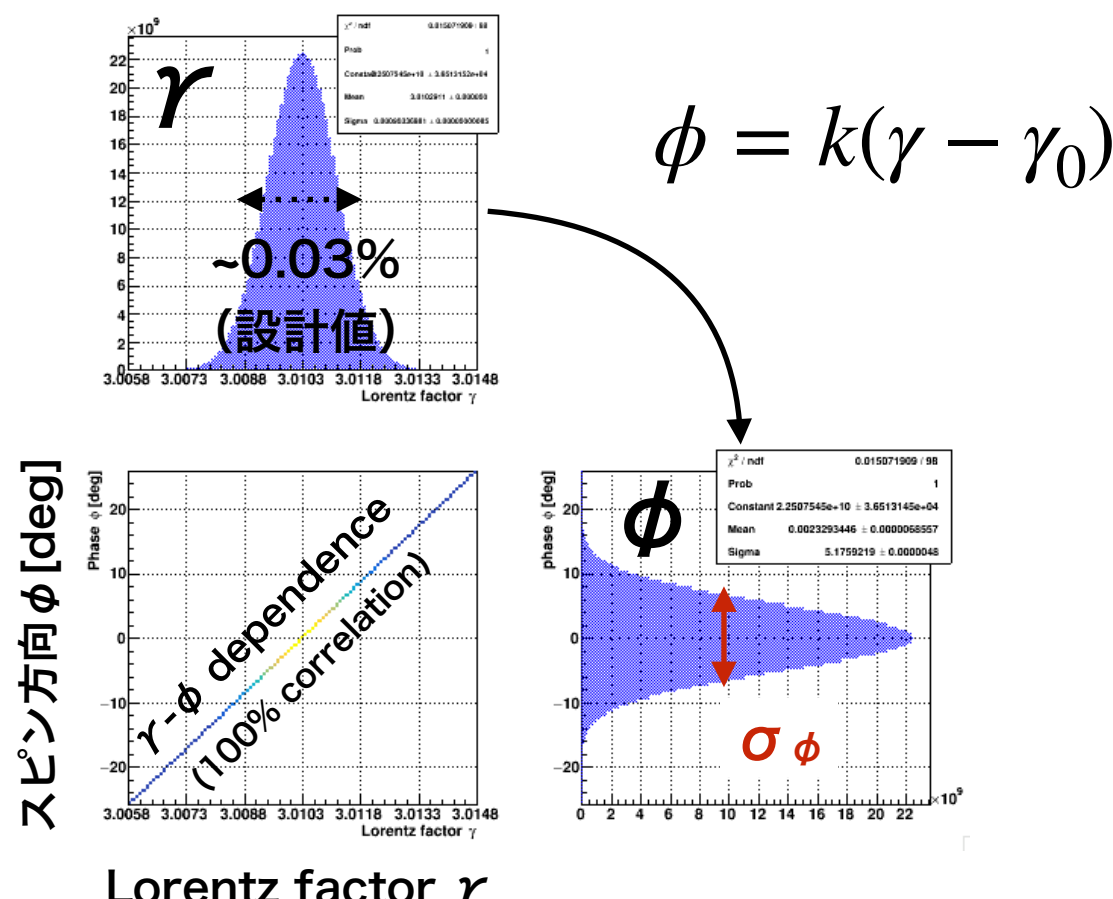
# スピンドル方向と運動量相関の要求値 9

## ■スピンドル方向と運動量相関の要求値

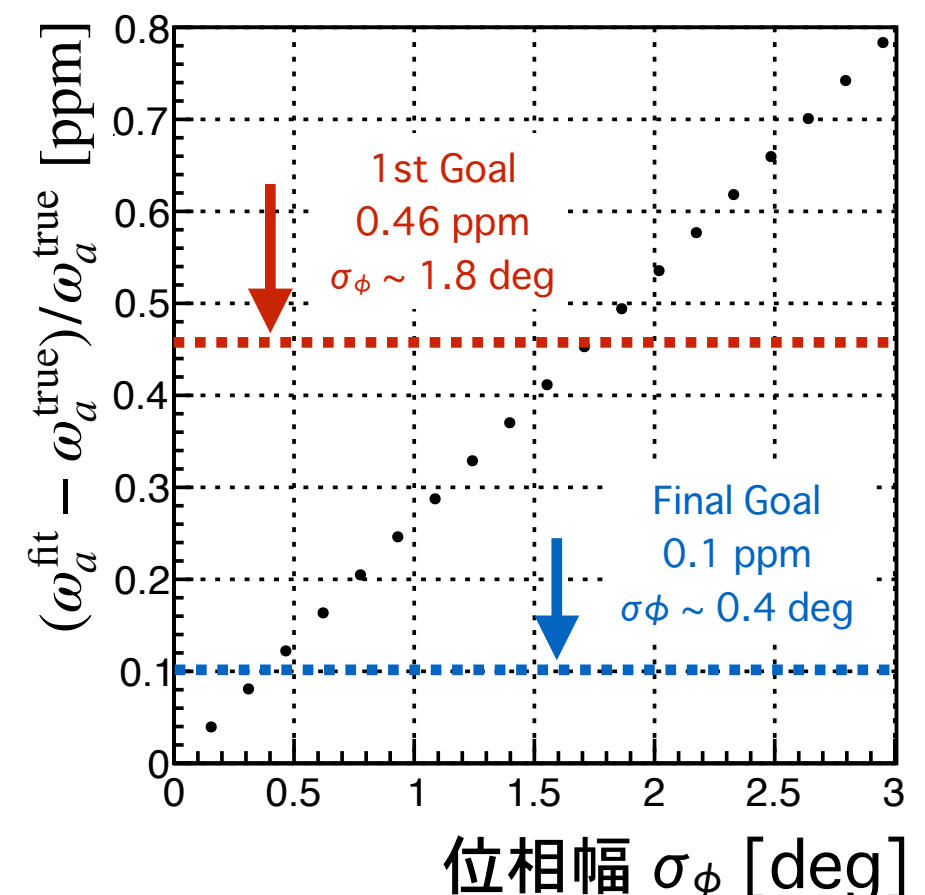
■スピンドル方向と運動量が100%正に相関していると仮定

■相関の大きさをスピンドル方向の広がり  $\sigma_\phi$  として評価

仮定した運動量-スピンドル方向相関



相関の大きさによる系統誤差の変化



スピンドル方向  $\phi$  と運動量の相関の要求値

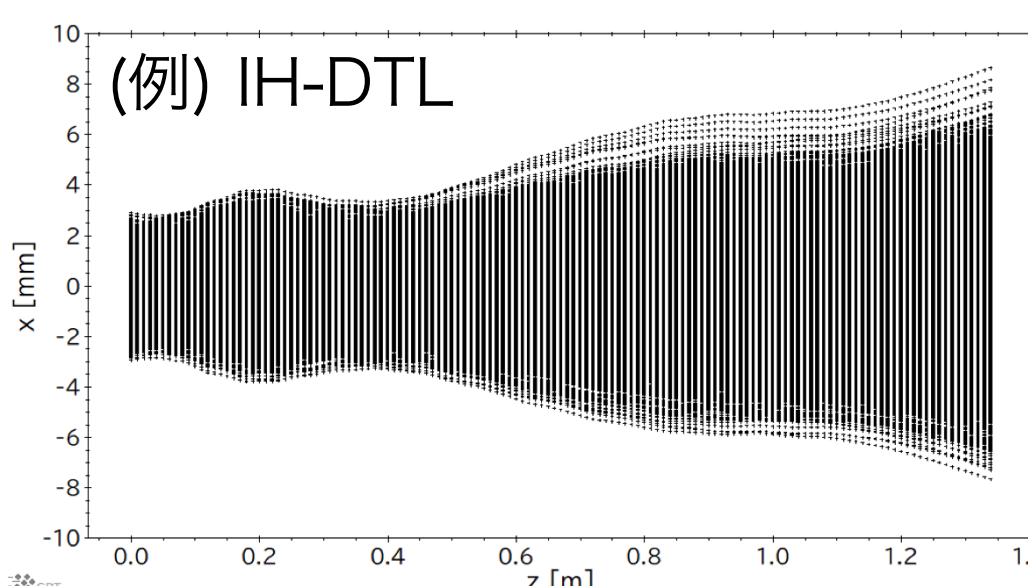
相関が100%の場合に、スピンドル方向の広がり  $\sigma_\phi < 0.4 \text{ deg}$

# シミュレーション方針

- 計算ステップにおける電磁場情報からスピンドイナミクスを計算  
→ Runge-Kutta法を用いているGPTによるシミュレーションが有用

## ■ Beam dynamics

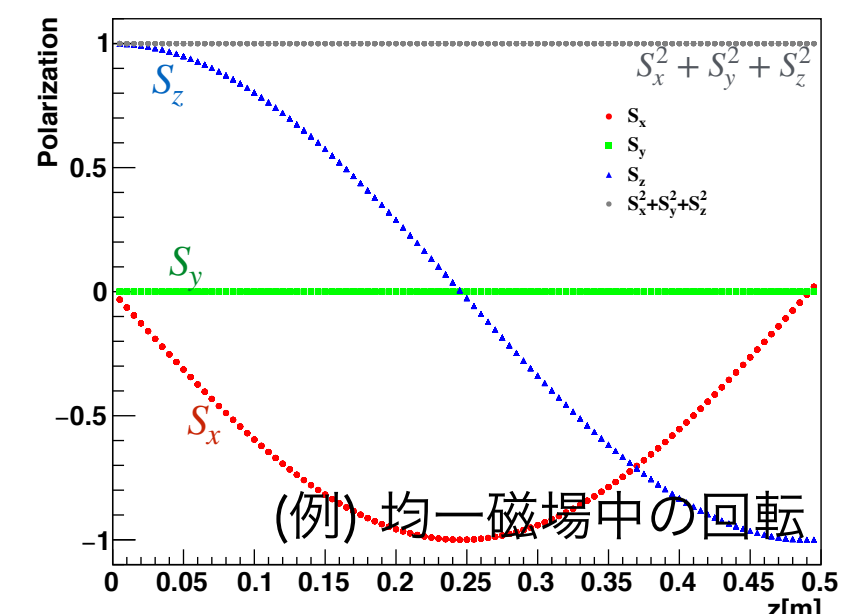
### GPT (General Particle Tracer)



各計算ステップでの  
粒子・電磁場情報を取得  
(x, p, B, E etc⋯⋯)

## ■ Spin dynamics

### Self-made code



- GPTではユーザー関数によって  
計算ステップにアクセス可能
- RFQ, DAWのシミュレーションを  
GPTのシミュレーションへ移行した

- Runge-Kutta法を用いて計算
- スピンド運動を記述する基本方程式の  
T-BMT方程式に基づいて計算

ソフトウェア(GPT)をベースにした手法でシミュレーションを実行

# 各加速空洞での減偏極率

## ■ 各加速器空洞での減偏極率を調査

- 粒子分布：超低速ミューオン

- 各加速空洞の初期スピン： $P_z = 1$  (z方向に100%偏極)

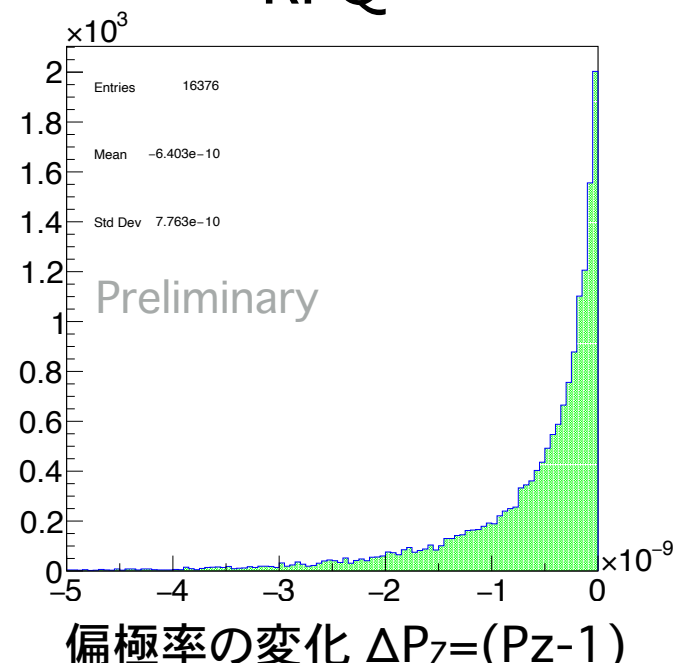
- それぞれの加速空洞固有の減偏極について確認

## ■ 減偏極によるミューオンg-2統計数の減少は十分に小さい

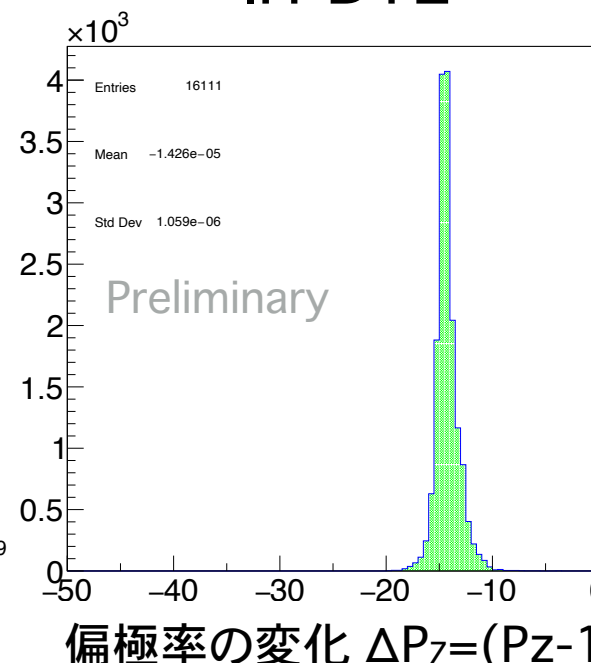
	RFQ	IH-DTL	DAW	DLS
減偏極率 $ \Delta P_z $	$6 \times 10^{-10}$	$1.4 \times 10^{-5}$	$4.2 \times 10^{-5}$	$4.4 \times 10^{-6}$

各加速空洞での偏極率の変化  $\Delta P_z = (P_z - 1)$

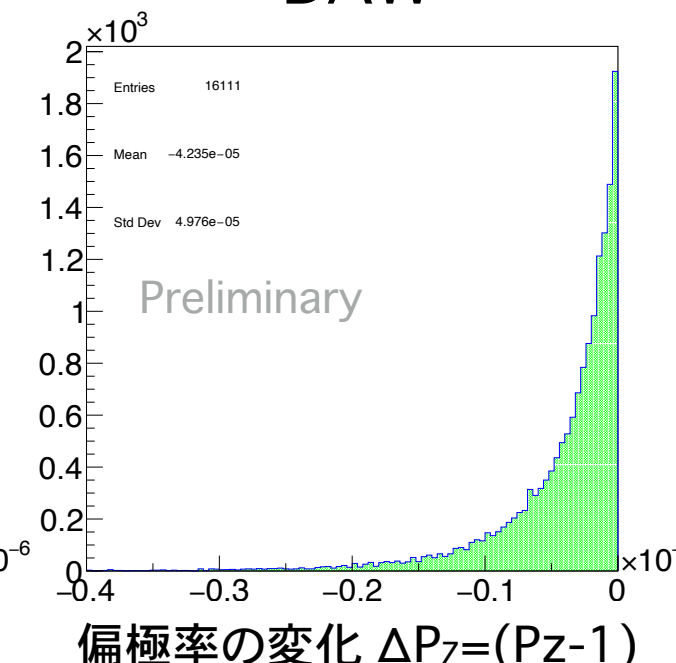
RFQ



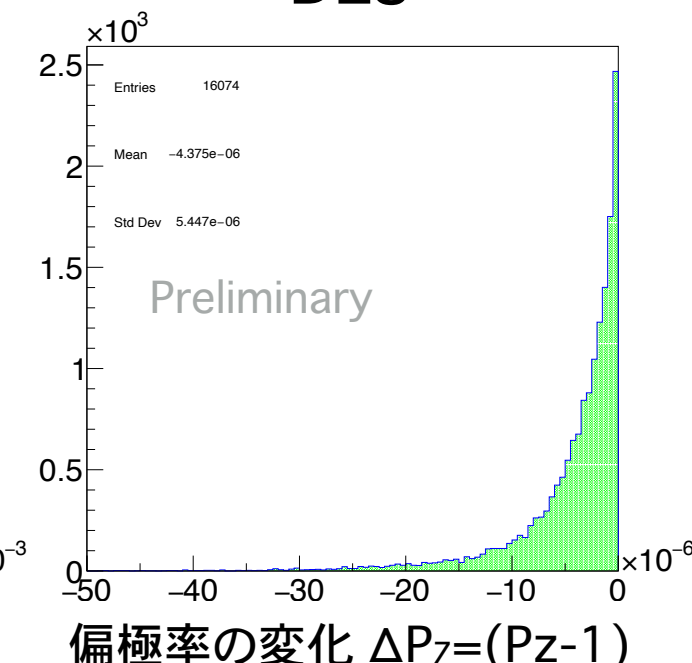
IH-DTL



DAW



DLS



# 各加速空洞でのスピン位相分散

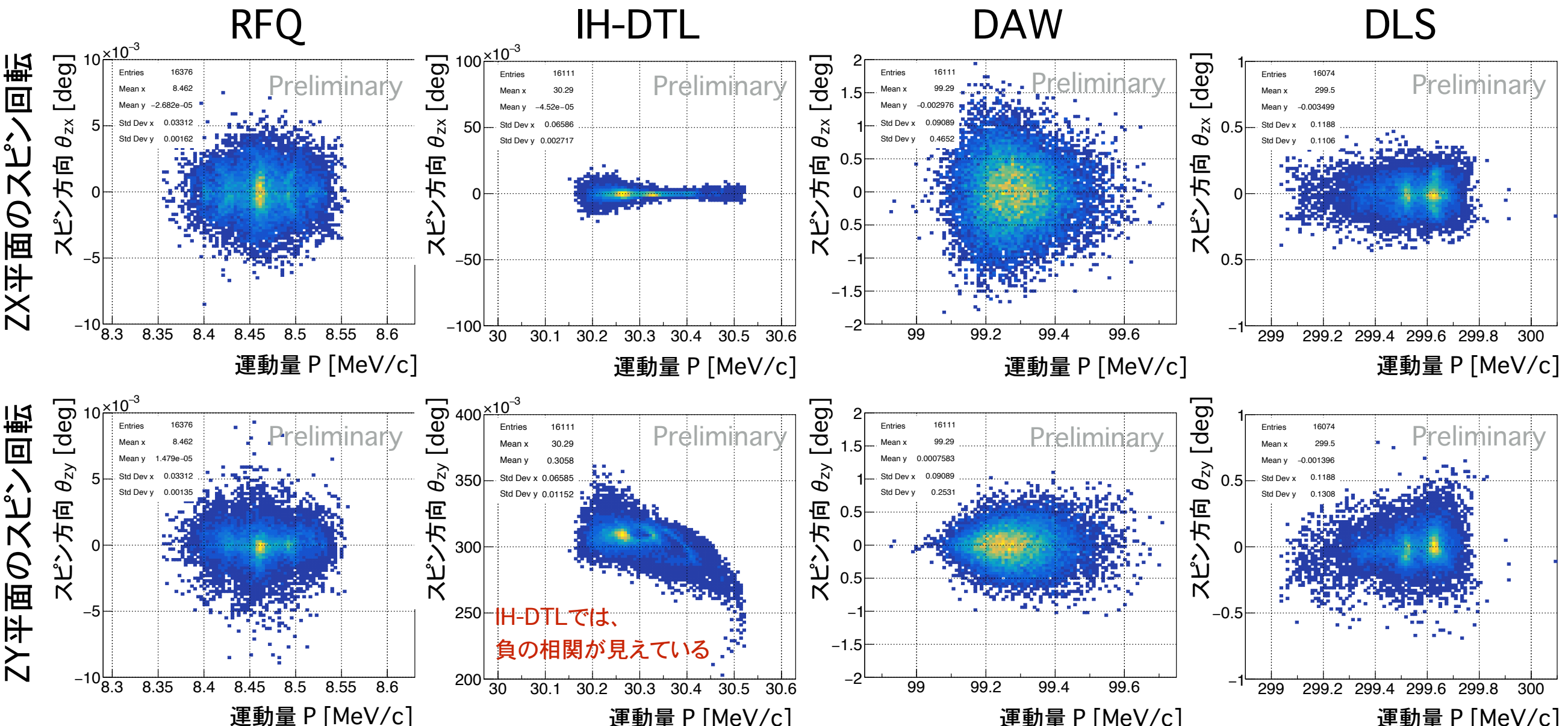
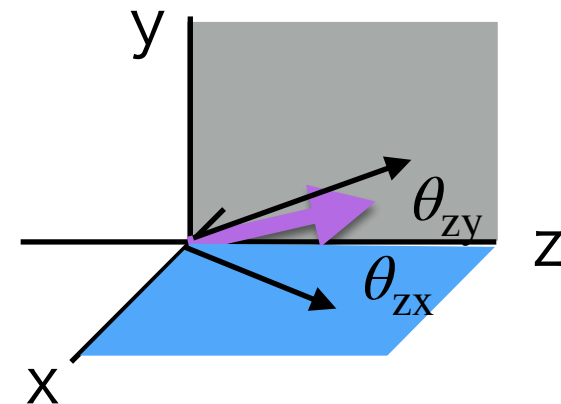
12

■ 各加速空洞出口でのスピン方向と運動量相關の有無を確認

■ スpin方向と運動量の相關は、IH-DTL(ZY平面)でのみ見えている

■ IH-DTLの加速電場(TEモード)による横磁場の影響

■ 一方で、他の空洞では顕著な相關は見られない



# 各加速空洞でのスピン位相分散

13

## 各加速器空洞でのスピン方向の広がりを評価

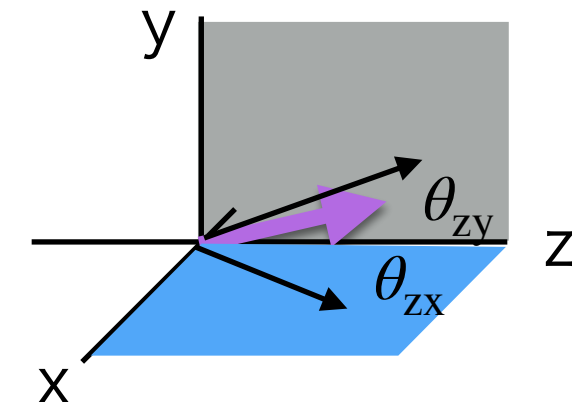
muon g-2実験で要求される位相分散(100%相関と仮定) : 0.4 deg (StD)

## 負の相関が見えているIH-DTL(ZY平面) : $\sigma_\phi \sim 0.012$ deg

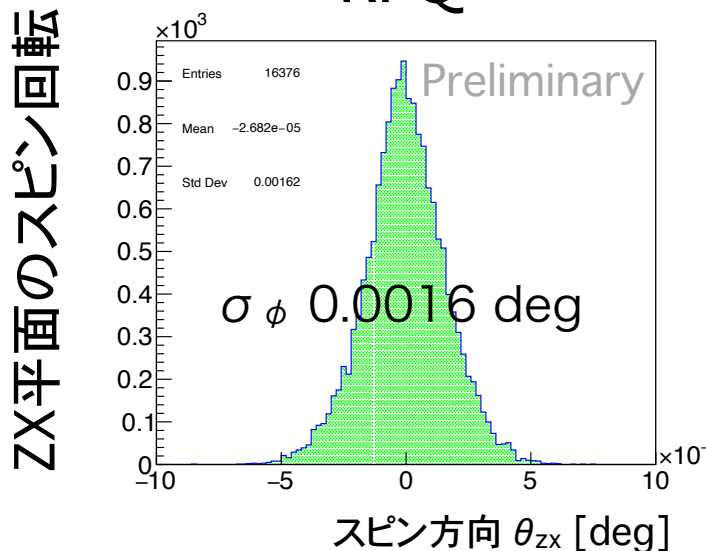
相関が見えるIHでのスピン方向の広がりは十分に小さい

## 最も大きいスピン方向の広がり : DAWで $\sigma_\phi \sim 0.47$ deg

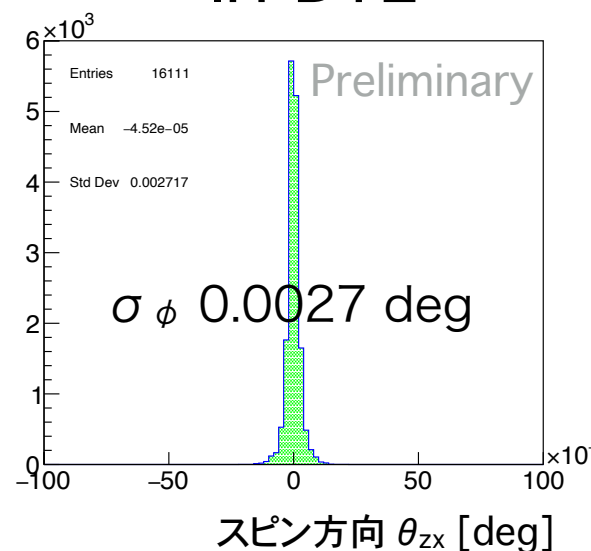
相関は見られないため、ミューオンg-2測定への影響ないと考える



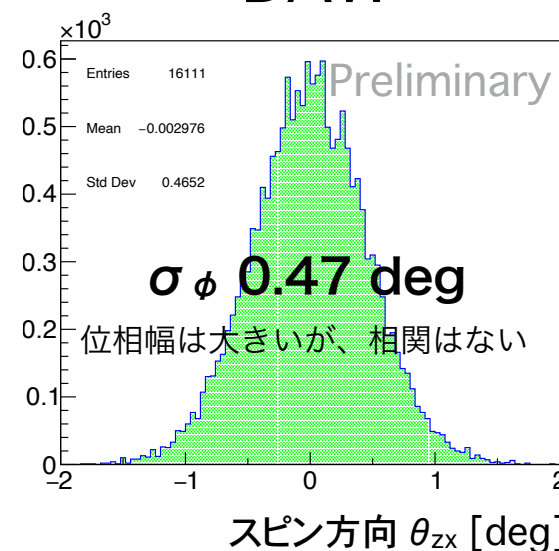
RFQ



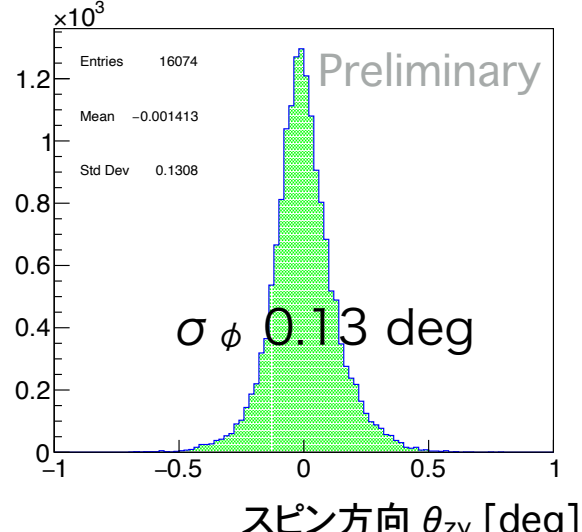
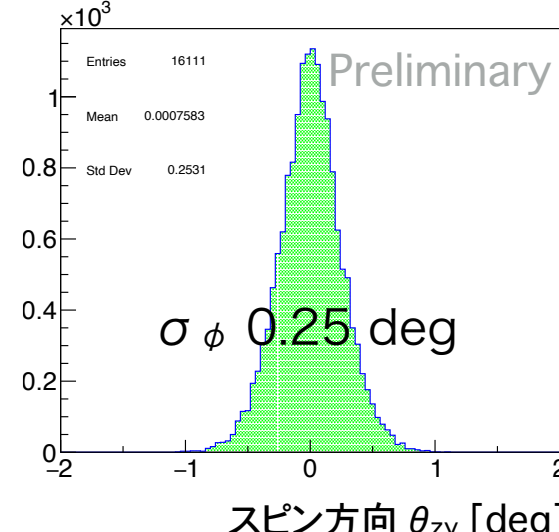
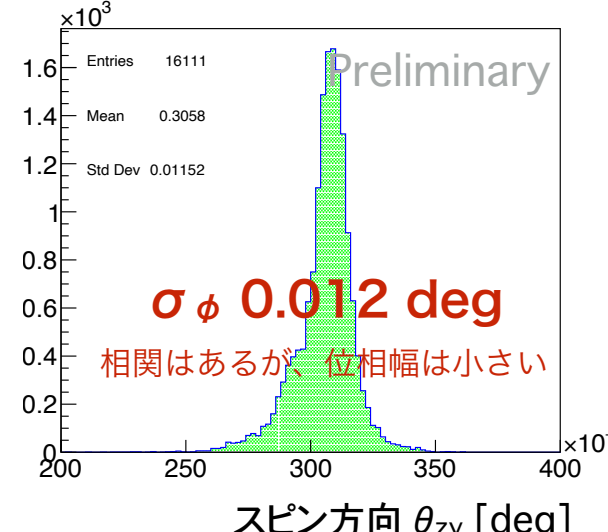
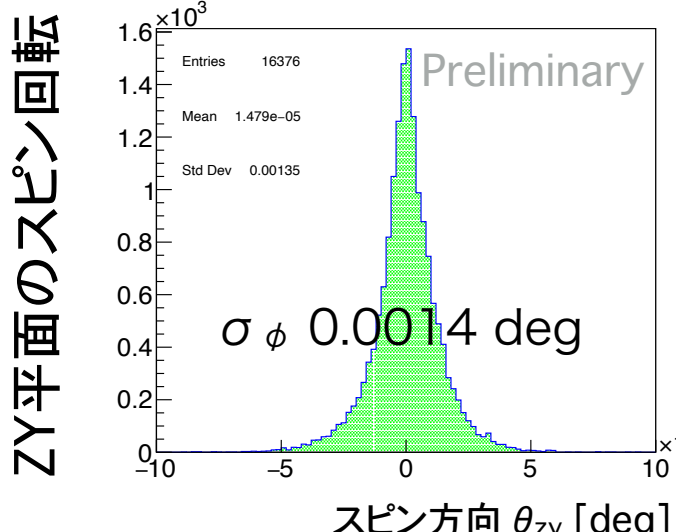
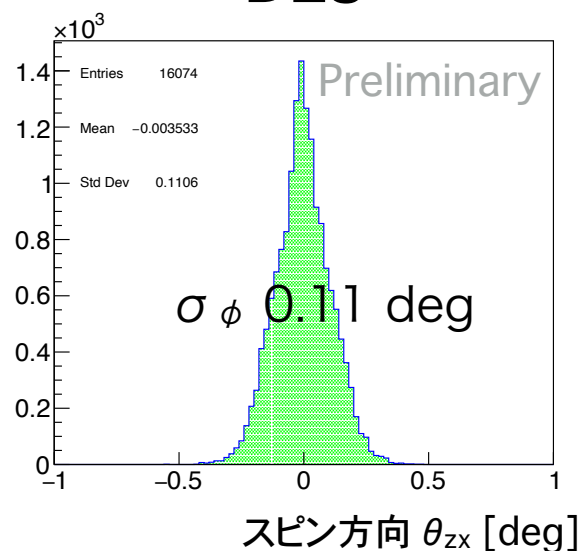
IH-DTL



DAW



DLS



- J-PARC muon g-2/EDM 実験では、先行実験よりも高精度な測定により、新粒子の探索を目指す。
- スピンダイナミクスの評価項目として、減偏極率とスピン方向と運動量相関を調査
  - スpin方向と運動量相関：100%相関を仮定して、 $\sigma_\phi < 0.4 \text{ deg}$
- ソフトウェア(GPT)を拡張する手法によってシミュレーションを実行
- スpinダイナミクスシミュレーションの結果として、
  - 減偏極率は本実験に全く影響しないほど小さい
  - IH-DTL後では負の相関が見えるが、本実験へのスpin方向幅 $\sigma_\phi$ 要求以下の値
- 今後の展望
  - 製作誤差など、非対称な電磁場分布が生じた際のスpinダイナミクスについて調査
  - 上流部も含む実験全体のスpinダイナミクスシミュレーションを行う